

# 复合材料力学

$$W = \frac{1}{2} \epsilon_1 \epsilon_1 = \frac{1}{2} \epsilon^T C \epsilon$$

$$= \frac{1}{2} C_{11} \epsilon_1^2 + C_{12} \epsilon_1 \epsilon_2 + C_{13} \epsilon_1 \epsilon_3 + C_{14} \epsilon_1 \epsilon_4 + C_{15} \epsilon_1 \epsilon_5 + C_{16} \epsilon_1 \epsilon_6$$

$$+ \frac{1}{2} C_{22} \epsilon_2^2 + C_{23} \epsilon_2 \epsilon_3 + C_{24} \epsilon_2 \epsilon_4 + C_{25} \epsilon_2 \epsilon_5 + C_{26} \epsilon_2 \epsilon_6 + \frac{1}{2} C_{33} \epsilon_3^2$$

$$+ C_{34} \epsilon_3 \epsilon_4 + C_{35} \epsilon_3 \epsilon_5 + C_{36} \epsilon_3 \epsilon_6 + \frac{1}{2} C_{44} \epsilon_4^2 + C_{45} \epsilon_4 \epsilon_5$$

$$+ C_{46} \epsilon_4 \epsilon_6 + \frac{1}{2} C_{55} \epsilon_5^2 + C_{56} \epsilon_5 \epsilon_6 + \frac{1}{2} C_{66} \epsilon_6^2$$

$$W = \frac{1}{2} S_{11} \epsilon_1^2 + S_{12} \epsilon_1 \epsilon_2 + S_{13} \epsilon_1 \epsilon_3 + S_{14} \epsilon_1 \epsilon_4 + S_{15} \epsilon_1 \epsilon_5 + S_{16} \epsilon_1 \epsilon_6$$

$$+ \frac{1}{2} S_{22} \epsilon_2^2 + S_{23} \epsilon_2 \epsilon_3 + S_{24} \epsilon_2 \epsilon_4 + S_{25} \epsilon_2 \epsilon_5 + S_{26} \epsilon_2 \epsilon_6 + \frac{1}{2} S_{33} \epsilon_3^2$$

+, ...

2.2.1 具有一个弹性对称平面的材料

$$\gamma_{yz}' = \frac{\partial w'}{\partial y} + \frac{\partial v}{\partial z'} = -\left(\frac{\partial w}{\partial y} + \frac{\partial v}{\partial z}\right) = -\gamma_{yz} = -\epsilon_4$$

$$\gamma_{zx}' = \frac{\partial u}{\partial z'} + \frac{\partial w'}{\partial x} = -\left(\frac{\partial u}{\partial z} + \frac{\partial w}{\partial x}\right) = -\gamma_{zx} = -\epsilon_5$$

那些含有  $\epsilon_4$  的一次项的要被消去

$$\gamma_{yz} \epsilon_4$$

$$\gamma_{zx} \epsilon_5$$

$$C_{14} = 0$$

$$C_{15} = 0$$

$$C_{24} = 0$$

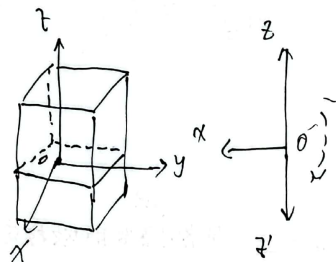
$$C_{25} = 0$$

$$C_{34} = 0$$

$$C_{35} = 0$$

$$C_{64} = 0$$

$$C_{65} = 0$$



$$z' = -z$$

$$w' = -w$$



扫描全能王 创建

C的对称性:

当应力  $\sigma_i$  作用于应变增量  $\epsilon_j$ , 单位体积外力功增量  $dA$ .

$$dA = dW = \sigma_i d\epsilon_i$$

由 (2-8)  $\left\{ \frac{\partial \sigma_i}{\partial \epsilon_j} = \frac{\partial \left( \frac{\partial W}{\partial \epsilon_i} \right)}{\partial \epsilon_j} \right\} = \frac{\partial^2 W}{\partial \epsilon_i \partial \epsilon_j} = \frac{\partial^2 W}{\partial \epsilon_j \partial \epsilon_i} = C_{ji}$

由应变增量与加载过程无关:

$$dW = \frac{\partial W}{\partial \epsilon_i} d\epsilon_i$$

$$\frac{\partial W}{\partial \epsilon_i} = \sigma_i = C_{ij} \epsilon_j$$

设整个加载过程变形状态:

$$W = \frac{1}{2} C_{ij} \epsilon_i \epsilon_j = \frac{1}{2} \sigma_i \epsilon_i$$

则应变势能密度表示为应变分量的二次函数

$$\frac{\partial^2 W}{\partial \epsilon_i \partial \epsilon_j} = C_{ij}$$

~~(2-8)~~ 用齐次函数的欧拉定理 (见知乎收藏) 可以证明

$$W = \frac{1}{2} C_{ij} \epsilon_i \epsilon_j$$

W 是应变能密度

$$C_{ij} = C_{ji} \quad S_{ij} = S_{ji}$$

(因应变势与加载顺序无关)

$$W = \frac{1}{2} S_{ij} \sigma_i \sigma_j$$



扫描全能王 创建

2.2.2 正交各向异性材料：材料具有3个正交的弹性对称平面（或者说2个 → 3个）

$y \rightarrow y'$   $xOz$  平面弹性对称。则同样可证明一兰刚度  $\mu_{12} = 0$

$$\gamma_{yx} = -\gamma_{xy}$$

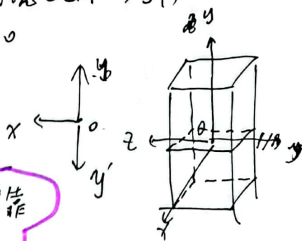
含  $\epsilon$  的二次项要为0  
含  $\epsilon$

$$\gamma_{yz} = -\gamma_{zy}$$

注意  $y \rightarrow y'$  无法推  $c_{64} = 0$ ，要靠

$$c_{11} \ c_{12} \ c_{13} \ c_{25} = 0$$

$z \rightarrow z'$  推。



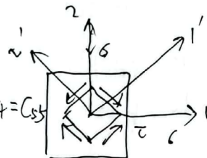
## 2.2.3 横观各向同性材料

若经过弹性体材料一轴存在垂直该轴线的平面内，各点的弹性性能在轴向上都相同，则此材料称为横观各向同性材料。此平面叫各向同性面。

现取 1-2 坐标面为各向同性面，3 轴垂直于 1-2 坐标面。

$$s_{11} = s_{22} \quad s_{13} = s_{23} \quad s_{44} = s_{55} \quad c_{11} = c_{22} \quad c_{13} = c_{23} \quad c_{44} = c_{55}$$

$$\begin{cases} 4: yz \\ 5: xz \\ 6: xy \end{cases}$$



$$s_1 = s_2 \quad s_3 = 0$$

$$s_2 = -s_1$$

$$s_4 = s_5 = s_6 = 0$$

$$w = \frac{1}{2} s_{11} \epsilon_1^2 - s_{12} \epsilon_1 \epsilon_2 + \frac{1}{2} s_{11} \epsilon_2^2$$

$$= s_{11} \epsilon_1^2 - s_{12} \epsilon_1^2$$

$$s_{11}' = 0 = s_{22}' = s_{33}'$$

$$s_{44}' = 0 \quad s_{55}' = 0 \quad s_{66}' = -s_{66}$$

$$w = \frac{1}{2} s_{66} \epsilon_6^2 = \frac{1}{2} s_{66} \epsilon_6^2$$

$$s_{66} = 2(s_{11} - s_{12})$$

$$c_{66} = \frac{1}{2}(c_{11} - c_{12})$$

## 2.2.4 各向同性材料



扫描全能王 创建

$$s_{12} = s_{21}$$

$$s_{12} = -\frac{\nu_{12}}{E_2}$$

$$s_{21} = -\frac{\nu_{21}}{E_1}$$

$$\frac{\nu_{12}}{E_2} = \frac{\nu_{21}}{E_1}$$

✖

$$|s_{12}| = \frac{\nu_{12}}{E_1} < \left(\frac{1}{E_1} \frac{1}{E_2}\right)^{\frac{1}{2}}$$

$$\frac{|\nu_{12}|}{E_1} < \left(\frac{1}{E_1} \frac{1}{E_2}\right)^{\frac{1}{2}}$$

$$|\nu_{21}| < \left(\frac{E_1}{E_2}\right)^{\frac{1}{2}}$$

$$|\nu_{12}| < \left(\frac{E_2}{E_1}\right)^{\frac{1}{2}}$$

$$|\nu_{23}|$$

⋮

这些不等式可以用来检验实验数据是否合理

(3) 单层复合材料的力学分析

平面应力状态:  $\epsilon_3 = \tau_{13} = \tau_{23} = 0$  单层复材 (各向异性的平面应力状态)

$$\begin{bmatrix} \epsilon_1 \\ \epsilon_2 \\ \tau_{12} \end{bmatrix} = \begin{bmatrix} s_{11} & s_{12} \\ s_{12} & s_{22} \\ s_{66} \end{bmatrix} \begin{bmatrix} \sigma_1 \\ \sigma_2 \\ \tau_{12} \end{bmatrix} = S \sigma$$

$$\tau_{31} = \tau_{32} = 0$$

$$\epsilon_3 = s_{13} \sigma_1 + s_{23} \sigma_2 + s_{33} \tau_{12}$$

$$= -\frac{\nu_{13}}{E_1} \sigma_1 - \frac{\nu_{23}}{E_2} \sigma_2$$

$$-\frac{\nu_{31} \sigma_1}{E_1} - \frac{\nu_{32} \sigma_2}{E_2} + \frac{s_{33} \tau_{12}}{E_3}$$

对S求逆:

$$\begin{bmatrix} \sigma_1 \\ \sigma_2 \\ \tau_{12} \end{bmatrix} = \begin{bmatrix} \text{ } & \text{ } & \text{ } \\ \text{ } & \text{ } & \text{ } \\ \text{ } & \text{ } & \text{ } \end{bmatrix} [Q] \{ \epsilon \}$$

$[Q]$  是折减刚度矩阵

$[Q] \neq [Q]'$

$c_{ij} \neq q_{ij}$

$$C = S^{-1}$$

C 是真实的

(S 包括  $s_{23}, s_{33}$ )



扫描全能王 创建

单层材料

3.2 任意方向的应力-应变关系

$$\begin{bmatrix} \sigma_x \\ \sigma_y \\ \tau_{xy} \end{bmatrix} = [T]^{-1} \begin{bmatrix} \sigma_1 \\ \sigma_2 \\ \tau_{12} \end{bmatrix}$$

应变转轴公式:

$$\begin{bmatrix} \varepsilon_x \\ \varepsilon_y \\ \gamma_{xy} \end{bmatrix} = T^T \begin{bmatrix} \varepsilon_1 \\ \varepsilon_2 \\ \gamma_{12} \end{bmatrix}$$

$$\begin{bmatrix} \varepsilon_x \\ \varepsilon_y \\ \gamma_{xy} \end{bmatrix} = [T^{-1}][Q][T^{-1}]^T \begin{bmatrix} \sigma_x \\ \sigma_y \\ \tau_{xy} \end{bmatrix}$$

$$\begin{bmatrix} \sigma_1 \\ \sigma_2 \\ \tau_{12} \end{bmatrix} = [Q] \begin{bmatrix} \varepsilon_1 \\ \varepsilon_2 \\ \gamma_{12} \end{bmatrix}$$

↓

$$\begin{bmatrix} \sigma_x \\ \sigma_y \\ \tau_{xy} \end{bmatrix} = [T][Q][T^{-1}] \begin{bmatrix} \sigma_x \\ \sigma_y \\ \tau_{xy} \end{bmatrix}$$

$$= [T][Q][T^{-1}]^T \begin{bmatrix} \sigma_x \\ \sigma_y \\ \tau_{xy} \end{bmatrix}$$

单层

C3. 正交各向异性材料的强度理论.

3.4.1 最大应力理论, 3.4.2 最大应变理论 都不很适用.

3.4.3 Hill-霍强度理论.

$$(G+H)\sigma_1^2 + (F+H)\sigma_2^2 + (F+G)\sigma_3^2 - 2H\sigma_1\sigma_2 - 2G\sigma_1\sigma_3 - 2F\sigma_2\sigma_3 + 2L\tau_{23}^2 + 2M\tau_{31}^2 + 2N\tau_{12}^2 = 1$$

F, G, H, L, M, N 为各向异性材料的破坏强度参数.

X, Y, S 表示 F, G, H, L, M, N.

X: 纵向拉伸, X<sub>c</sub>: 纵向压缩, Y<sub>t</sub>: 横向拉伸, Y<sub>c</sub>: 横向压缩, S: 剪切 (五大强度)



扫描全能王 创建

只有  $\tau_{12}$  作用

$$2NS^2 = 1$$

$$2N = \frac{1}{S^2}$$

只有  $\sigma_1$  作用

$$\begin{cases} (G+H)X^2 = 1 \\ (F+H)Y^2 = 1 \quad (\text{用2表示3的平方度}) \\ (F+G)Z^2 = 1 \end{cases}$$

~~2H~~ ↓

$$\begin{cases} 2F = -\frac{1}{X^2} + \frac{1}{Y^2} + \frac{1}{Z^2} \\ 2G = \frac{1}{X^2} - \frac{1}{Y^2} + \frac{1}{Z^2} \\ 2H = \frac{1}{X^2} + \frac{1}{Y^2} - \frac{1}{Z^2} \end{cases}$$

↓

$$\frac{F^2}{X^2} - \frac{G^2}{X^2} + \frac{G^2}{Y^2} + \frac{H^2}{S^2} = 1.$$

$$\begin{cases} \sigma_1 = \sigma_x \cos^2 \theta \\ \sigma_2 = \sigma_x \sin^2 \theta \\ \tau_{12} = -\sigma_x \sin \theta \cos \theta \end{cases}$$

$$\frac{\sigma_x^2 \cos^4 \theta}{X^2} - \frac{\sigma_x^2 \cos^2 \theta \sin^2 \theta}{X^2} + \frac{\sigma_x^2 \sin^4 \theta}{Y^2} + \frac{\sigma_x^2 \sin^2 \theta \cos^2 \theta}{S^2} = 1$$

$$\frac{\cos^4 \theta}{X^2} + \frac{\sin^4 \theta}{Y^2} + \left(\frac{1}{S^2} - \frac{1}{X^2}\right) \cos^2 \theta \sin^2 \theta = \frac{1}{\sigma_x^2}$$

令材料参数



扫描全能王 创建

Hill-薛理论未考虑拉压性能不同的复合材料, Hoffman 提出如下新的理论:

$$\frac{\sigma_1^2}{X_t X_c} - \frac{\sigma_1 \sigma_2}{X_t X_c} + \frac{\sigma_2^2}{Y_t Y_c} + \underbrace{\frac{X_c - X_t}{X_t X_c} \sigma_1 + \frac{Y_c - Y_t}{Y_t Y_c} \sigma_2}_{\text{Hoffman's correction}} + \frac{\tau_{12}^2}{S^2} = 1$$



## ② 拓扑优化与材料设计.

### 一. 多材料的拓扑优化:

离散 → 连续. (变化方法)  
 $\nearrow$  Ximp

$\rho$ : 指示数

~~2x5~~

$\rho_{e1}$ : 有没有材料

$\rho_{e2}$ : 用哪种材料

$$E_{ijkl}(\rho_{e1}, \rho_{e2}) = \rho_{e1} [ \rho_{e2}^{\eta} E_{ijkl}^{(1)} + (1 - \rho_{e2}) E_{ijkl}^{(2)} ]$$

$$E_{ijkl}^* = \rho_{e2}^{\eta} E_{ijkl}^{(1)} + (1 - \rho_{e2})^{\eta} E_{ijkl}^{(2)}$$

DMO: 有列式拍照. 缺点: 变量太多难优化.

SFP: 改由 DMO: 2个变量表示 4个点, 0  
 采用等参形式近似场值云云

$$GSFP: v_m(R_1 \dots R_N) = \frac{1}{2N} \pi (1 + \sum_{mk} R_k) \quad (\text{老师组工作})$$

where  $R_k \in [-1, 1]$   
 可表示  
 $N$  个设计变量  $\rightarrow 2^N$  种候选材料

3D 增强复合材料角度选择

钢桁架结构截面选型优化设计. (不同截面构型看成不同材料),  
 虽然不是拓扑优化, 但也是可用拓扑优化的思想做.

### 二. 多尺度尺度分析与拓扑优化.

宏观结构 } 结构  
 微观结构 } 材料

宏观结构 ~ 一类变量

微观结构 ~ 另一类变量

双尺度并发优化算法. 程 et al.



如果有热载作用, 优化容易出现多层级结构.



扫描全能王 创建



考虑应力约束的拓扑优化列式.

(6e)vm: 单元 von Mises 应力.

不同提法: 让最大的(6e)vm  $<$  总的应力约束.

~~区~~

应力约束的可微化处理

应力约束:

① 超大变量 (且修正后目太多)

以求暂时消除

② 有限元应力处理 办法.

全局约束. (有课件拍照): p-norm 方法

① 网格加密, 自适应

② 杂交元方法 作特征, 应力场分别取值.

③ 材料展有限元.

